

地理试题

2019.01

考试时间：75 分钟 满分：100 分

一、单项选择题：在下列各题的四个选项中只有一项是最符合题目要求的。请在答题卡上相应的方框内填涂。（本部分共 30 题，每题 2 分，共 60 分。）

图 1 为辅助夜间观星某 APP 打开的界面，读图回答 1~2 题。

1. M31 星系是仙女座主星系，距离太阳系约 220 万光年（银河系半径约 5 万光年）。M31 星系属于

- A. 银河系
- B. 河外星系
- C. 太阳系
- D. 地月系

2. 观察发现土星、火星、海王星、天王星在同一弧线上，以反映太阳系中行星运动的共同特征是

- A. 共面性
- B. 同向性
- C. 近圆性
- D. 连续性

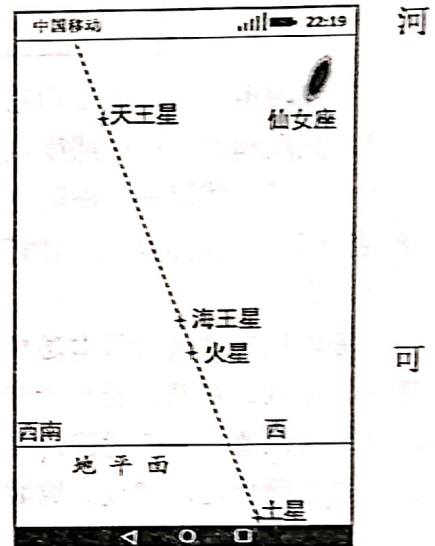


图 1

太阳射电流量是太阳 10.7cm 波长附近的辐射通量值，具有 11 年左右的周期，可以反映太阳活动水平的高低。图 2 为 2008-2018 年期间太阳射电流量变化图，读图回答 3~4 题。

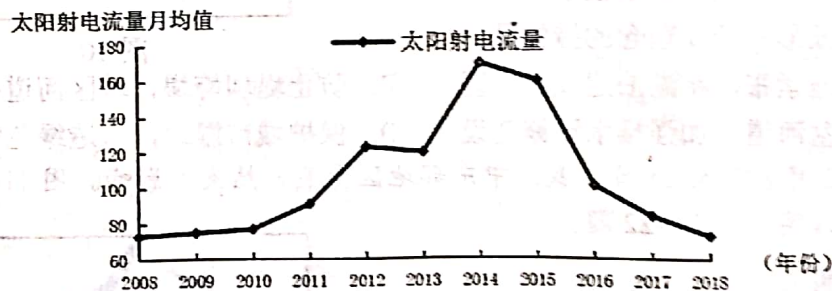


图 2

3. 2008-2018 年期间太阳活动最强烈的年份为

- A. 2008 年
- B. 2010 年
- C. 2014 年
- D. 2017 年

4. 太阳活动强烈时对地球及周围空间环境产生的潜在影响有

- ① 影响无线电短波通讯
- ② 发生磁暴现象
- ③ 国际空间站中电子设备受影响
- ④ 流星雨现象增多

- A. ②③④
- B. ①②④
- C. ①③④
- D. ①②③



图3为屋顶光伏发电景观图，读图回答5~6题。

5. 下列现象与太阳辐射无关的是
 A. 火山喷发 B. 大气运动
 C. 植物生长 D. 水体运动
6. 与拉萨相比，淮安发展屋顶光伏发电的不利条件是
 A. 气温日较差小 B. 能源资源丰富
 C. 纬度位置较低 D. 阴雨天气较多

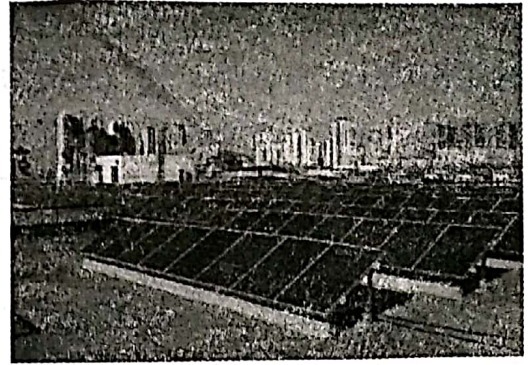


图3

目前人类对地球内部结构的认识主要来自于对地震波的研究，地震波按传播方式分为横波（传播介质：固态）和纵波（传播介质：固、液、气态）。图4为地球内部圈层结构示意图，读图回答7~8题。

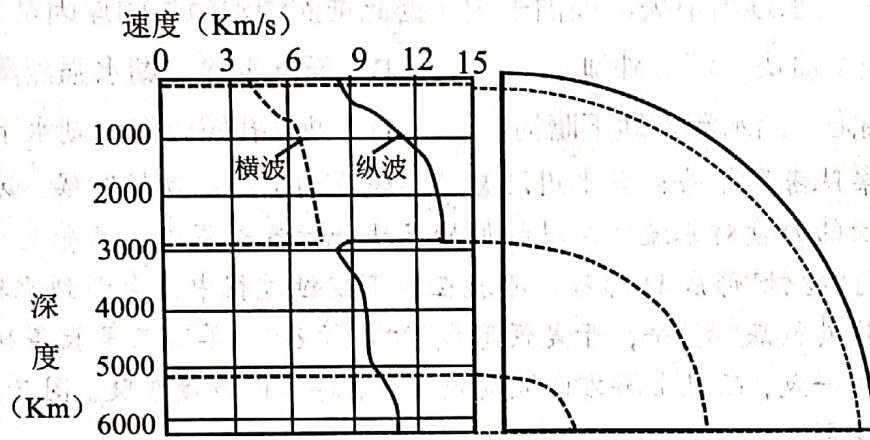


图4

7. 地震发生时，陆地上的人们通常会先感觉到
 A. 上下颠簸 B. 左右摇晃 C. 前后晃动 D. 以上都不对
8. 从地表到地心，地球内部物质状态发生明显变化的位置在
 A. 20km 附近 B. 1200km 附近 C. 3000km 附近 D. 4000km 附近

2018年7月肯尼亚决定使用某科技公司的热气球系统为偏远地区消费者提供高速互联网接入服务。这些热气球在20公里以上的高空组成一个通信网络，然后将网络信号覆盖到地球表面。图5为大气垂直分层图，读图回答9~10题。

9. 这些热气球位于
 A. 对流层 B. 平流层
 C. 高层大气 D. 宇宙太空
10. 热气球分布在该层的有利条件是
 A. 离地面最近，信号较好
 B. 无大气削弱，太阳辐射强
 C. 有电离层，通信便利
 D. 空气水平运动为主，气流平稳

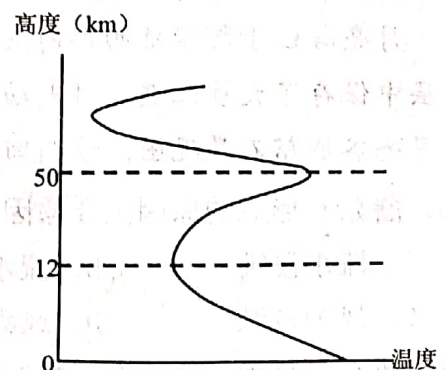


图5



喀斯特地貌是具有溶蚀力的水对可溶性岩石（大多为石灰岩）进行溶蚀作用等所形成的地表和地下形态的总称，又称岩溶地貌。主要地貌景观有峰林、峰丛、孤峰、溶洞、地下暗河、天坑、石钟乳、石笋等。图6为峰林、峰丛、孤峰示意图，读图回答11~12题。

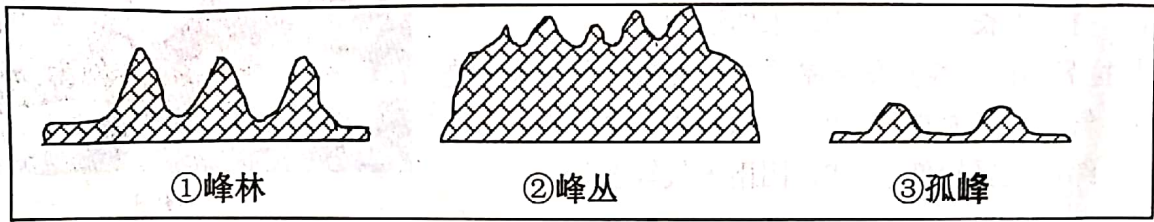


图6

11. 三种地貌形成的先后顺序是

- A. ②③① B. ②①③ C. ③①② D. ①②③

12. 2007年3月9日傍晚时刻，广西壮族自治区忻城县（云贵高原南侧）一湖泊湖底突然发出惊响，随后湖水逐渐消失，湖泊干涸。据此推测湖泊消失的原因是

- A. 下游堤坝溃决，湖水外泄 B. 天气炎热，湖水强烈蒸发
C. 湖底塌陷，湖水流入地下暗河 D. 湖底孔隙较多，湖水下渗

某地质考察队考察报告：当冰川沿着河谷缓慢向下游流动的时候，冰体以几乎无法感知却又持之以恒的力量对冰流所经过的原始谷地进行着永不停息的雕塑作用，对谷床及峡谷两侧岩石进行“挖蚀”形成U形谷。冰流在向下挖蚀过程中，会遇到比较硬的“钉子户”，冰流最终无法将其彻底“削”平，于是便形成了“羊背石”。羊背石呈长条状，长轴方向与当年冰川流动方向一致，而且上游方向坡度较缓，下游方向坡度较陡。图7为羊背石示意图，读图回答13~14题。

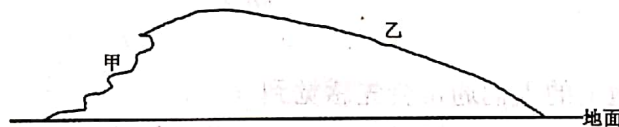


图7

13. U形谷的形成原因是

- A. 海浪侵蚀 B. 冰川侵蚀 C. 流水侵蚀 D. 风力侵蚀

14. 关于图7中羊背石描述正确的是

- A. 冰川移动方向为自甲向乙 B. 甲处为冰川堆积
C. 乙坡面较光滑，有擦痕 D. 流水侵蚀作用下甲坡较陡

月亮谷位于阿根廷西部内陆沙漠地带，这里岩层中保存了大量三叠纪时期动植物化石。图8为月亮谷蘑菇石景观图，读图回答15~16题。



图8

15. 蘑菇石形成的原因主要原因是

- A. 流水侵蚀 B. 流水沉积
C. 风力侵蚀 D. 风力堆积

16. 据材料推测，此地在三叠纪时期地理环境特征为

- A. 干旱少雨 B. 温暖湿润 C. 冰天雪地 D. 高寒缺氧



杏树在我国分布范围很广，是著名的观赏树木。图9为我国四地杏花开放时间图，读图回答17~18题。



图9

17. 导致四地杏花开放时间差异的主要因素，对应正确的是
- A. 武汉和北京——纬度位置 B. 伊宁和北京——土壤差异
 C. 成都和武汉——海陆位置 D. 成都与北京——海拔差异
18. 杏花开放的时间与近地面气温密切相关，近地面大气热量直接来源于
- A. 太阳辐射 B. 大气辐射 C. 地面辐射 D. 大气散射

海绵城市建设的核心思想是低影响开发。低影响开发是指在区域场所开发过程中采用源头、分散式措施维持场所开发前的水文特征。图10为建设海绵城市前后，流经某城市河流的径流量变化示意图，读图10回答19~20题。

19. 与之前相比，建设海绵城市后该城市河流

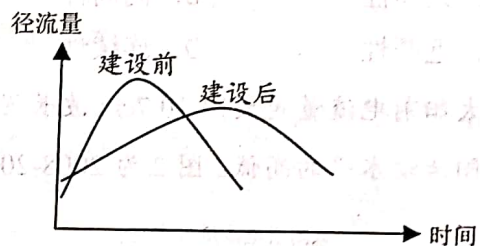


图10

- A. 下游汛期洪峰流量增大
 B. 下游径流量季节变化减小
 C. 城市河流洪峰期提前到来
 D. 城市河流枯水期平均水位下降
20. 下列符合低影响开发理念的措施是
- A. 城市用地紧张，将湖泊建成商业区 B. 防止堤坝垮塌，城区河道硬化
 C. 填埋分岔河道，加强排水设施建设 D. 保护城市湿地，营造绿色空间

2018年12月8日至11日，我国中东部地区受某自然灾害影响。图11为该自然灾害移动路径图，读图回答21~22题。

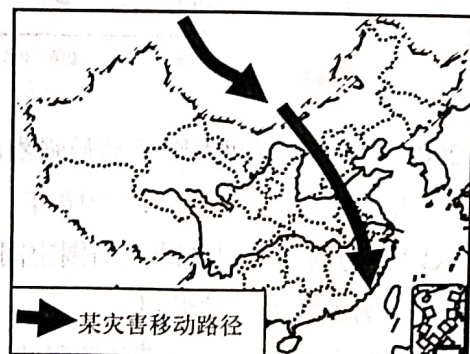


图11

21. 该自然灾害为
- A. 干旱 B. 台风
 C. 沙尘暴 D. 寒潮
22. 该灾害带来的危害有
- A. 导致西北地区水资源更加短缺
 B. 江淮地区农作物遭受冻害
 C. 北京大气污染严重
 D. 华南地区病虫害增加



台风“飞燕”2018年9月4日登陆日本，造成17人死亡，600余人受伤，以及近4亿美元的经济损失。图12为台风“飞燕”的卫星云图，读图回答23~25题。

23. 获取该卫星云图主要运用的地理信息技术是

- A. 遥感 B. 地理信息系统
C. 全球定位系统 D. 数字地球

24. 台风“飞燕”对日本造成严重危害的原因是

①预报不及时②台风等级大③登陆地人口稠密、经济发达④防灾减灾意识差

- A. ①② B. ③④
C. ②③ D. ①④



图12

25. 应对该灾害，下列做法合理的是

- A. 港湾内停靠的船舶尽快驶离港口 B. 可在大树下避风躲雨
C. 灾害期间所有航班正常运行 D. 台风来临前将窗外花盆等移入室内

新疆塔里木河是我国最大的内流河，河流中下游流域生态环境脆弱。图13为塔里木河干流不同时期土地利用状况图。读图回答26~28题。

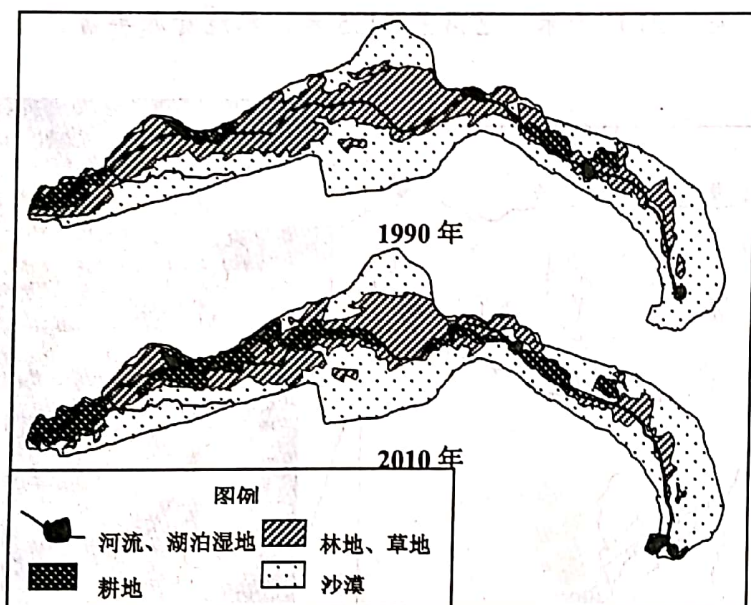


图13

26. 要想得到塔里木河流域土地利用状况数据，需要在计算机解译遥感影像后，再进行定点野外验证，将实践采集的信息与解译图像进行对比校正，修正后得到相对精确土地利用状况数据。在野外定点过程中需要用到的地理信息技术为

- A. 遥感 B. 地理信息系统 C. 全球定位系统 D. 数字地球

27. 与1990年相比，2010年塔里木河干流流域中

- A. 径流长度萎缩 B. 耕地面积增加
C. 湖泊湿地消失 D. 林地草地面积增加

28. 塔里木河干流流域土地利用状况的变化对流域内水循环产生的影响有

- A. 地下水水位下降 B. 入海径流减少
C. 林草蒸腾量增加 D. 降水大量增加



图 14 为 2018 年世界 7 级以上地震分布图，读图回答 29~30 题

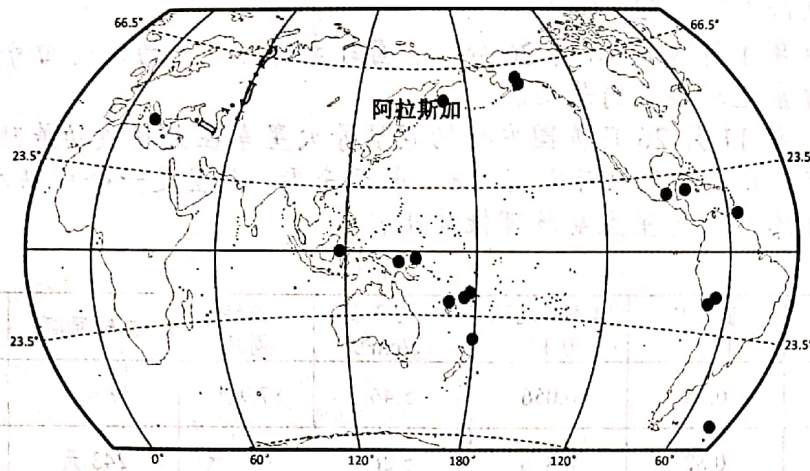


图 14

29. 图中 7 级以上地震主要分布于

- A. 板块交界地带
- B. 大陆内部
- C. 板块内部
- D. 大洲交界地带

30. 2018 年阿拉斯加共发生了两次 7 级以上地震，但灾害损失较小，主要原因是

- A. 地震震级低
- B. 社会经济活动少
- C. 震源深度较浅
- D. 距离震中较远

二、判断题：判断下列各题的正确或错误，正确的涂 A，错误的涂 B。（本部分共 10 题，每题 1 分，共 10 分）

- 31. 宇宙中最基本的天体是恒星和行星。
- 32. 地球有适合生物呼吸的大气是因为地球自转和公转的周期适中。
- 33. 岩石圈由软流层以上的地幔部分和地壳组成。
- 34. 生物圈占有大气圈的底部、水圈的全部和岩石圈的上部。
- 35. 晴朗的白天比多云的白天温度高的原因是大气逆辐射强。
- 36. 同一幅等压线图上，等压线越密集，风力越大。
- 37. 大气对太阳辐射的吸收作用具有选择性。
- 38. 人类生产生活用水的主要来源为河流水、深层地下水和海水。
- 39. 陆上内循环可使陆地水不断得到补充、更新。
- 40. 在青藏高原无人区发生的滑坡、泥石流不属于自然灾害。



三、综合题：请将答案填写在答题纸的相应位置上（本部分共 4 题，共 30 分）

41. 阅读材料，回答下列问题。（6 分）

材料一：2019 年 1 月 3 日 10 时 26 分，中国自主研发生产的嫦娥四号探测器成功在月球背面南极艾特肯盆地陨石坑内着陆。

材料二：2018 年 11 月 26 日美国发射的洞察号火星车在火星成功着陆。据研究火星的土壤中有水汽存在，火星南北极存有固态水。长远来看，火星是一个可供人类移居的星球。

材料三：表 1 为八大行星主要物理性质比较

表 1

行星	与太阳距离 (地球为 1)	质量(地球 为 1)	体积(地球 为 1)	平均密度 (g/cm ³)	公转 周期	自转周期	表面平均温度 (°C)
水星	0.39	0.05	0.056	5.46	87.9 天	58.6 天	昼 350 夜 -170 (固体表面)
金星	0.72	0.82	0.856	5.26	224.7 天	243 天	-33 云 480 (固体表面)
地球	1	1	1	5.52	1 年	23 时 56 分	22 (固体表面)
火星	1.52	0.11	0.15	3.96	1.9 年	24 时 37 分	-23 (固体表面)
木星	5.2	317.94	1316	1.33	11.8 年	9 时 50 分	-150 (云)
土星	9.84	95.18	745	0.70	29.5 年	10 时 14 分	-180 (云)
天王星	19.18	14.16	65.2	1.24	84.0 年	17 时 15 分	-220 (云)
海王星	30.05	17.22	57.1	1.66	164.8 年	17 时 48 分	-220 (云)

(1) 由材料三可知，太阳系八大行星距离太阳越远，▲。（单选）（2 分）

A. 质量越大 B. 体积越大 C. 公转周期越长 D. 自转周期越长

(2) 与地球相比，月球表面撞击坑较多的主要原因是▲。（1 分）

(3) 火星适宜人类移居的主要条件有▲。（3 分）

42. 阅读材料，回答下列问题。（7 分）

材料一：城市是人类活动对地理环境影响最深刻的区域。城市的气温往往高于郊区，使城市犹如一个温暖的岛屿，人们称之为“城市热岛”。

材料二：图 15 为城郊热力环流示意图。

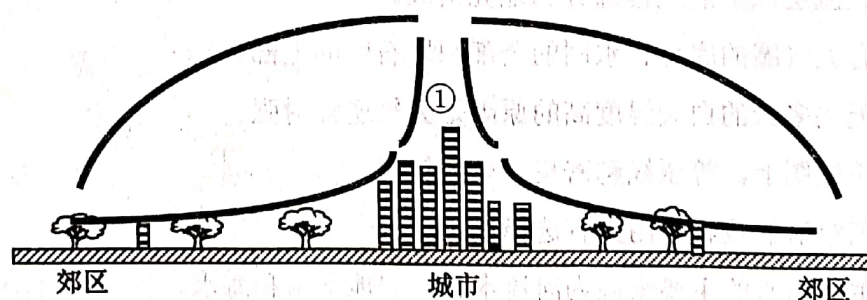


图 15

(1) “城市热岛”产生的主要原因是▲。（2 分）

(2) “城市热岛”会形成城郊热力环流，图中①处空气▲（上升或下沉），这也是城市上空云雾偏▲（多或少）的主要原因之一。（2 分）

(3) 为缓解城市热岛效应，应对的措施主要有▲。（3 分）



43. 河流水是人类淡水资源的主要来源之一，与人类的生产生活密切相关。图 16 为水循环示意图，读图回答下列问题。（8 分）

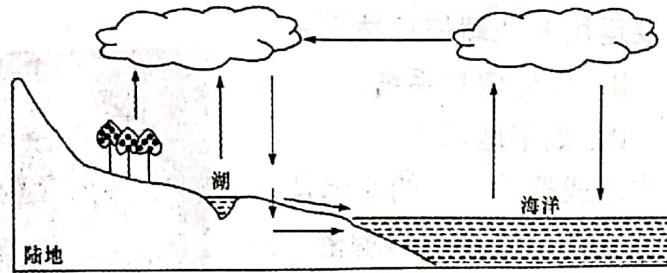


图 16

(1) 河流水主要通过海陆间循环得以更新和补充，由海洋水转化为河流水的水循环环节依次有 ▲、▲、▲。（3 分）

(2) 河流径流及其变化受多种因素影响，试列举两种。▲（2 分）

(3) 河流径流及其变化对人类的生产生活有重要影响，请简要说明。

有利影响 ▲、▲；不利影响 ▲。（3 分）

44. 阅读材料，回答下列问题。（9 分）

材料一：雅鲁藏布江发源于我国青藏高原的西南部，流经印度、孟加拉国，最后与恒河交汇后注入孟加拉湾，全长 2104 千米，总落差 5435 米，水能资源丰富。图 17 为雅鲁藏布江水系示意图。

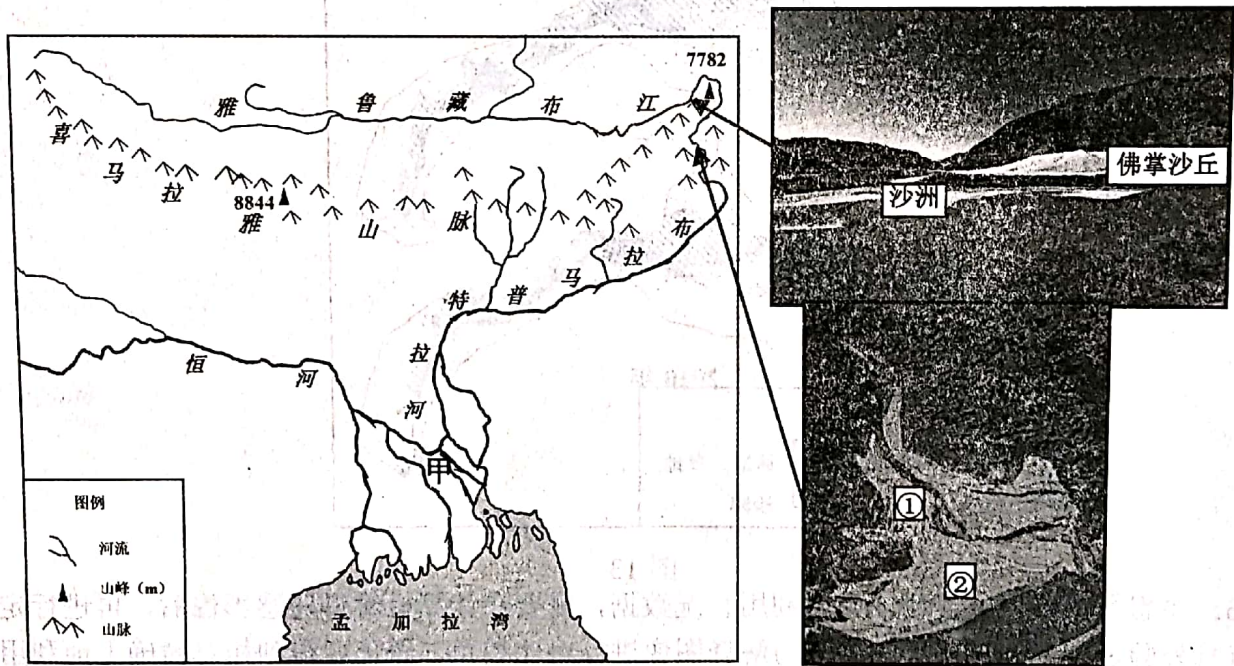


图 17

材料二：佛掌沙丘位于丹娘乡雅鲁藏布江北岸，因枯水期时河中沙洲出露，强劲峡谷风经过江面把沙洲沙粒吹到岸边堆积而成。该地 4~9 月份降雨丰富，占全年八九成，10 月~次年 3 月降水较少。

(1) 佛掌沙丘形成的主要外力作用为 ▲，直接沙源地为 ▲；佛掌沙丘面积季节变化较大，面积较小的季节为 ▲。（3 分）

(2) 图中②处地貌名称为 ▲，其形成的主要外力作用是 ▲，从①到②处颗粒物 ▲（“由小到大”或“由大到小”）分布。（3 分）

(3) 图中甲处地貌名称为 ▲。甲处洪涝灾害频发的主要自然原因有 ▲。（3 分）

